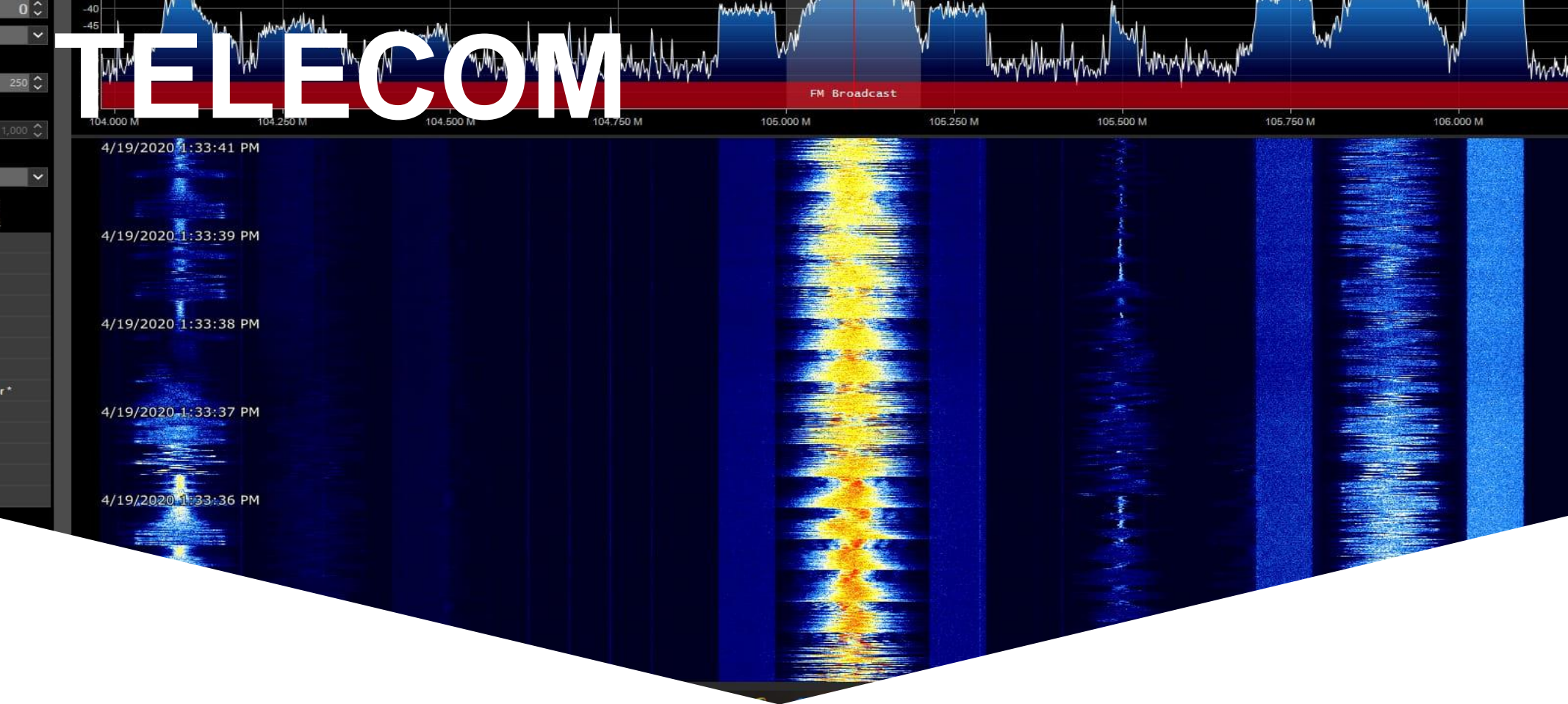


# TELECOM



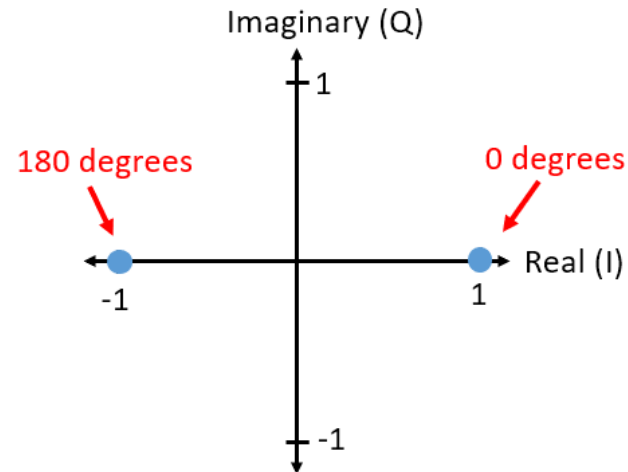
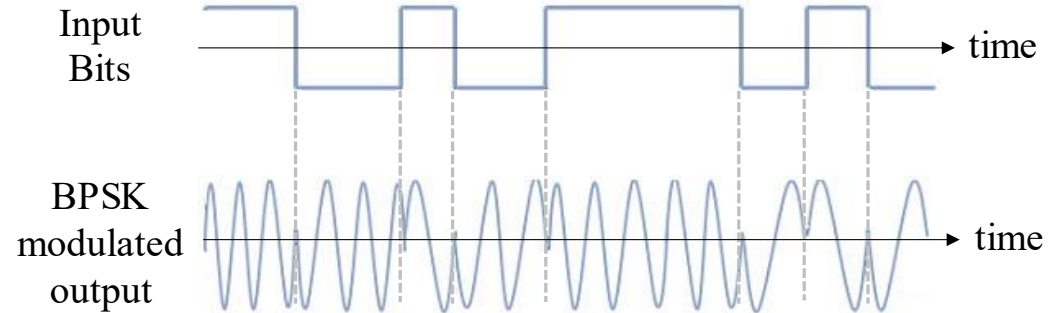
**TEL10 – Lab 3.2**

## Planning

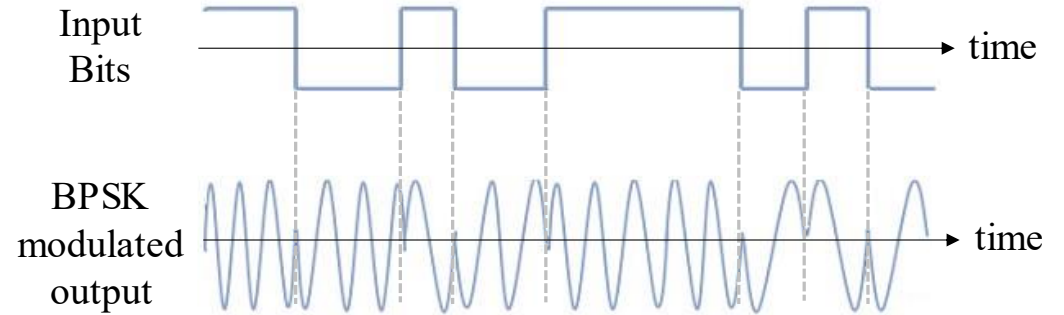
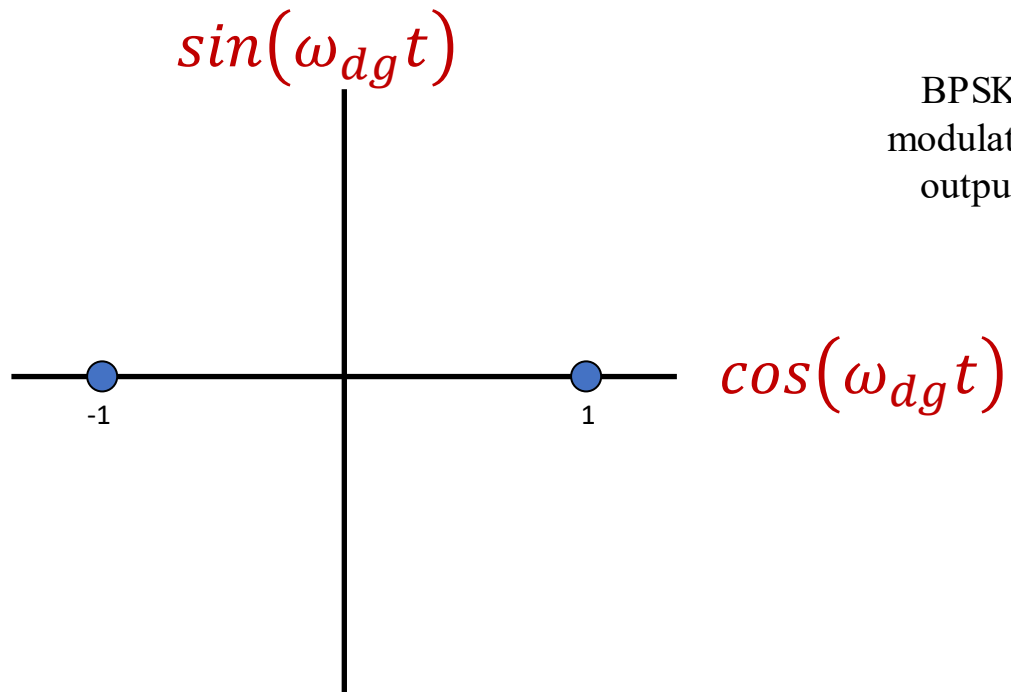
- PSK
- Inter symbolinterferentie
- Frequentiedetectie
  - Grove
  - Fijne
- Blokken

## Phase Shift Keying

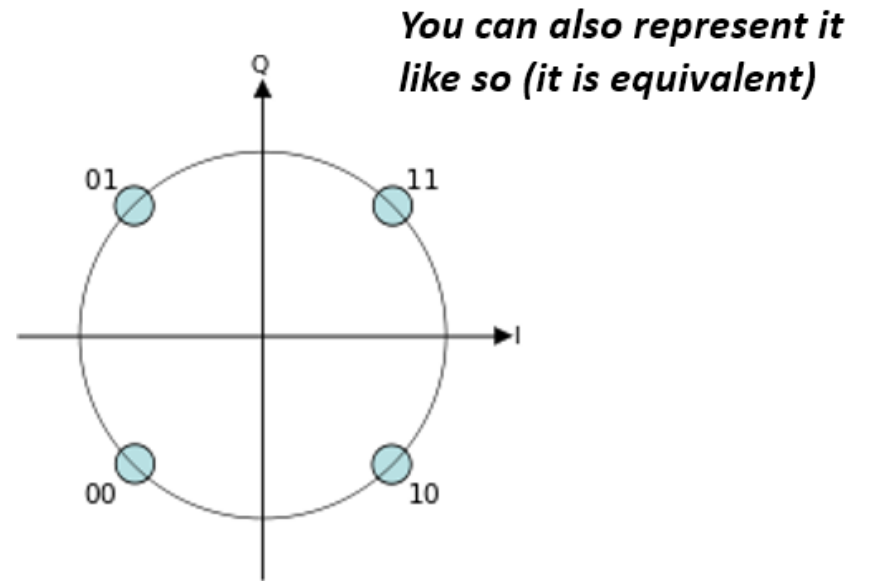
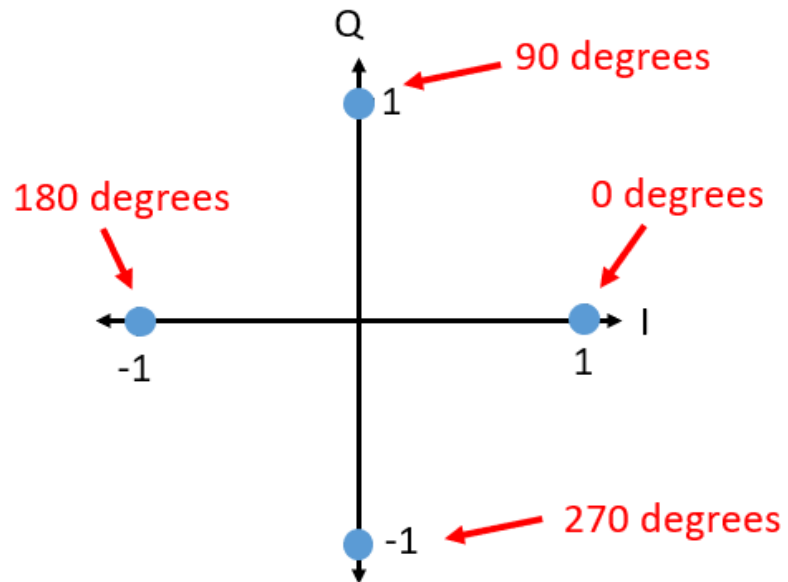
- ASK zonder offset/draag golf
- Ontvangen op dezelfde manier als DSB-SC (productdetector).
- Efficiënter dan ASK
- Handiger te bekijken als mogelijke waarden in het complexe vlak.

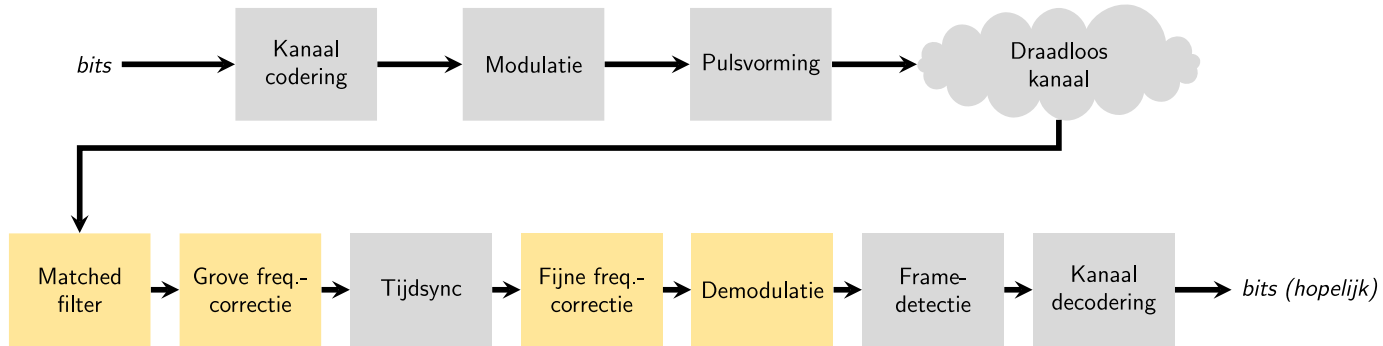


# IQ diagram



# QPSK





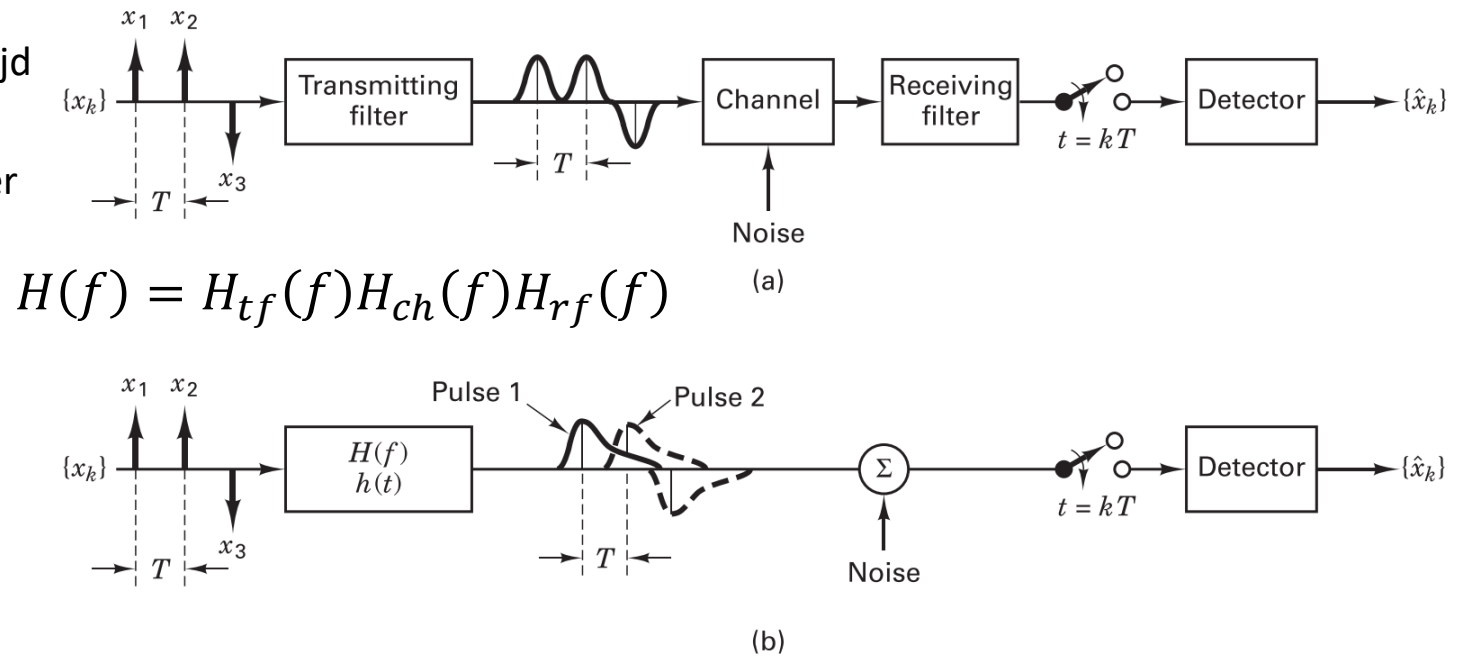
## Dit lab

1. Matched filter
2. Grove frequentiecorrectie
3. Fijne frequentiecorrectie

## Probleem

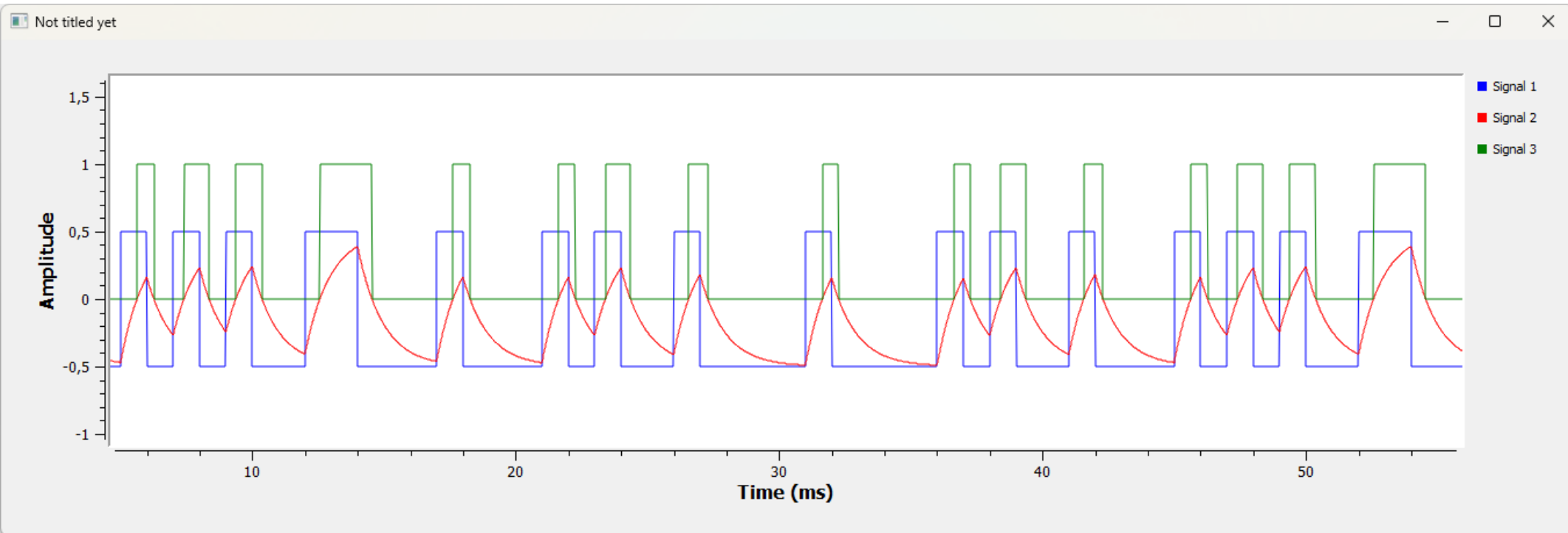
Bandbreedteminimalisatie en kanaaleffecten leiden tot uitsmeren symbolen in de tijd **bij de ontvanger.**

Dit maakt detectie moeilijker (meestal met threshold)



**Figure 3.15** Intersymbol interference in the detection process. (a) Typical baseband digital system. (b) Equivalent model.

## Simulatie ISI met simpel RC filter





## Oplossing

Speciale filters gebruiken.

Impulsresponsie waarbij elke periodetijd de waarde 0 is.

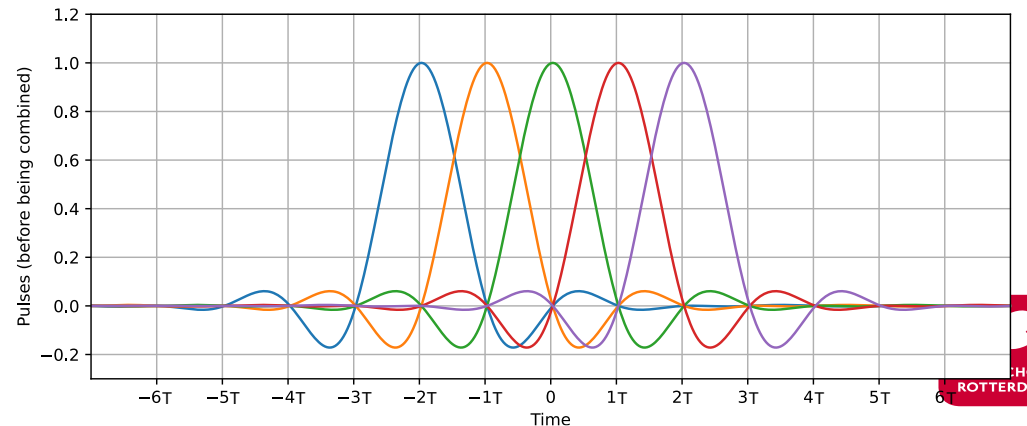
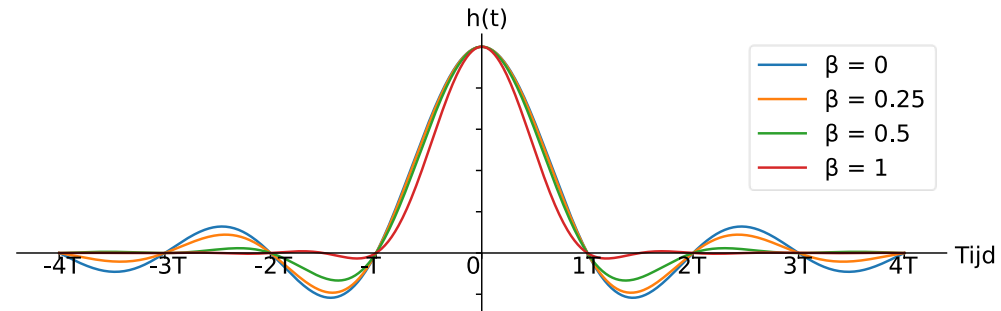
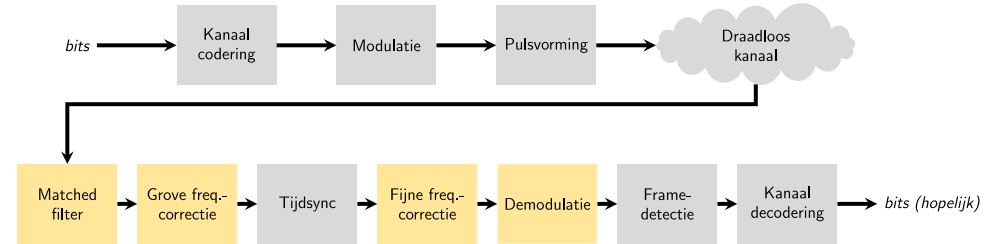
$$h(nT) = 0, n \neq 0$$

Geen invloed op volgend symbool!

Vaak een **Raised Cosine Filter**

$$h(t) = \frac{1}{T} \operatorname{sinc}\left(\frac{t}{T}\right) \frac{\cos\left(\frac{\pi\beta t}{T}\right)}{1 - \left(\frac{2\beta t}{T}\right)^2}$$

## Telecommunicatie



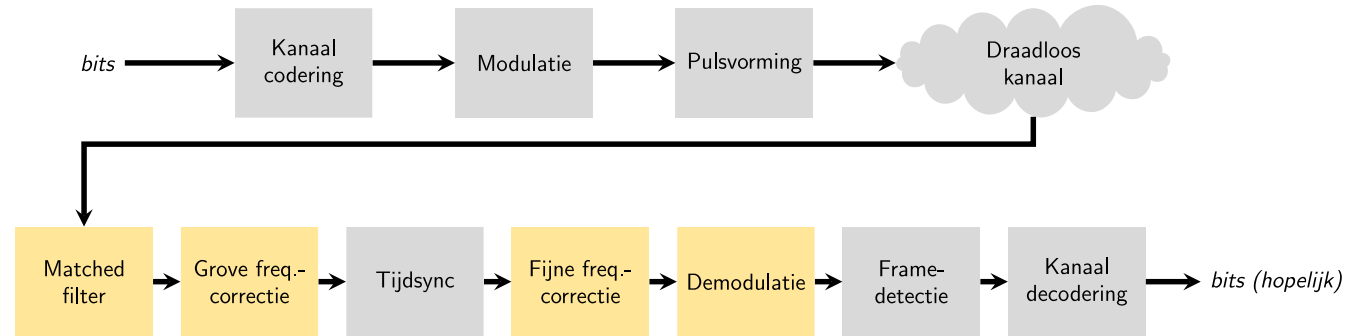
Vaak een **Raised Cosine Filter**

## Probleem

Beide zender en ontvanger willen filteren (**waarom?**)

## Oplossing

Filter splitsen in twee stukken

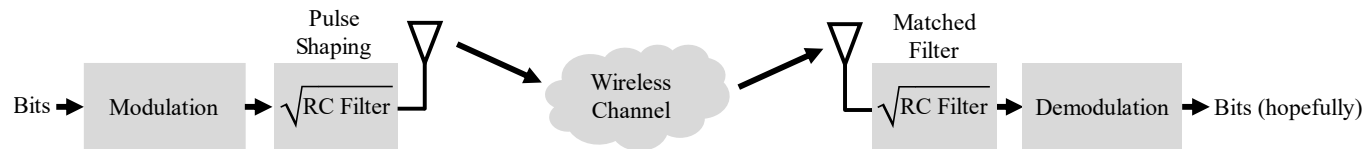


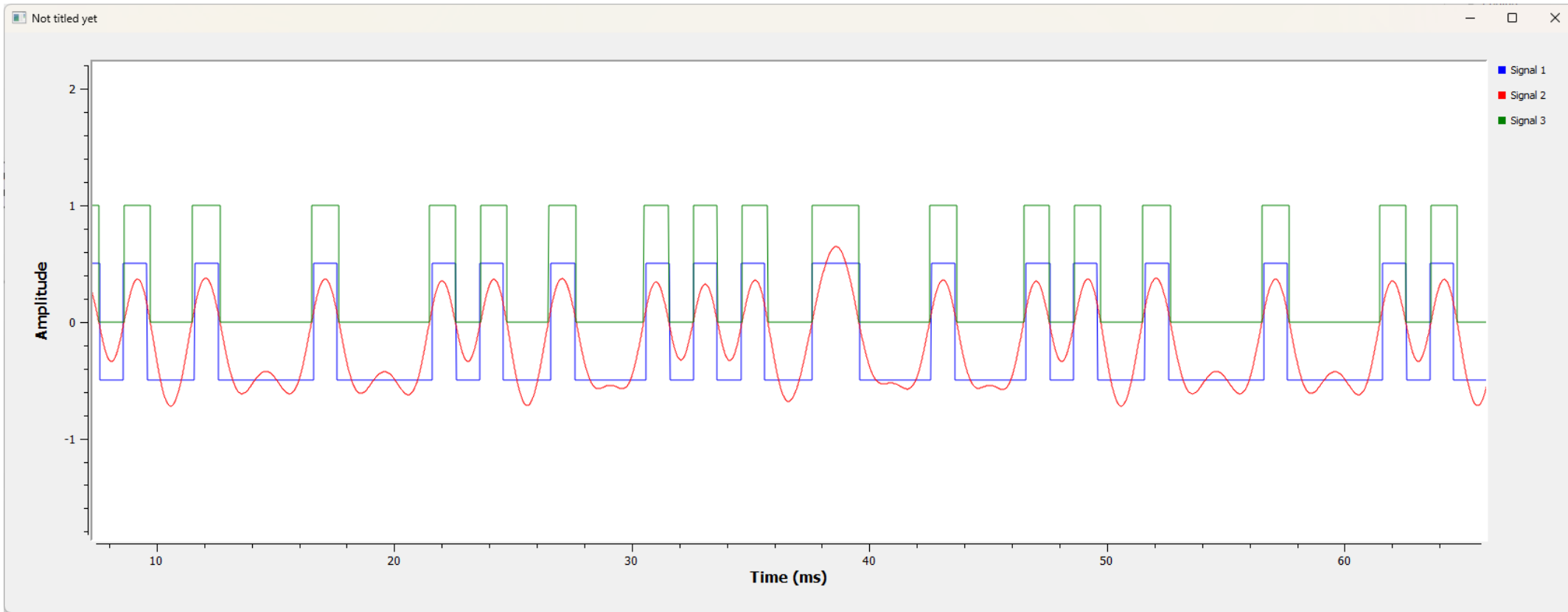
$$X_{rc}(f) = X_{rrc}(f)X_{rrc}(f)$$

Met

$$X_{rrc}(f) = \sqrt{X_{rc}(f)}$$

Matched filters!

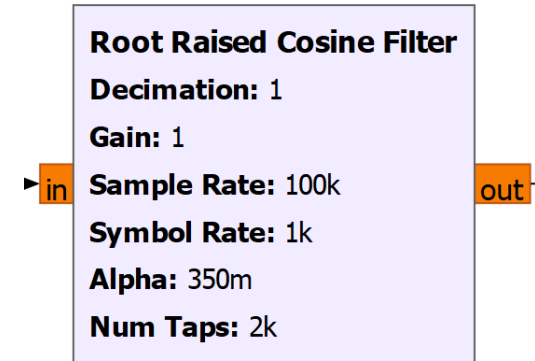


Simulatie met Raised Cosine filter  $\beta = 0.35$ 

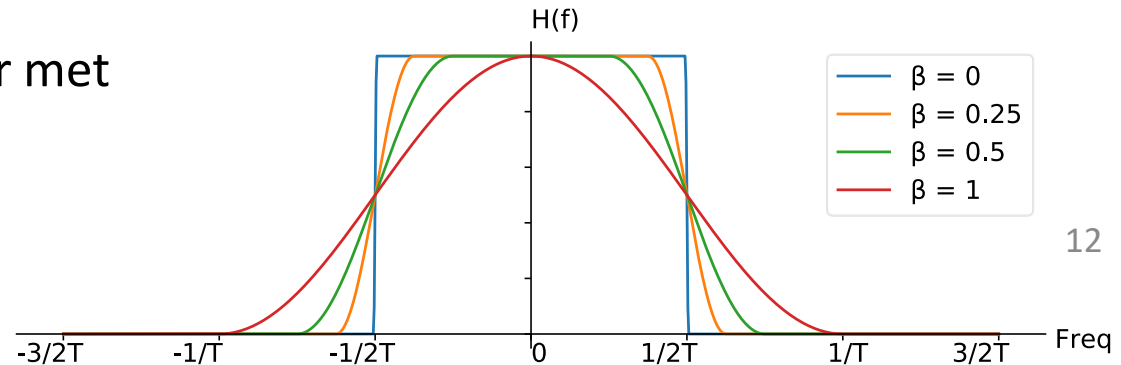
# Root Raised Cosine Filter

Apart blok voor RRC filter =  $\sqrt{X_{rc}(f)}$

- **Symbol Rate:** symbolen per seconde
- **Alpha ( $\beta$  in voorgaande slides):** tussen 0 en 1
- **Num Taps:** Aantal coëfficiënten  
=> meer coëfficiënten betere benadering



Dus 1 bij de zender en 1 bij de ontvanger met dezelfde instellingen (matched!!)



# Frequentiedetectie

## Probleem

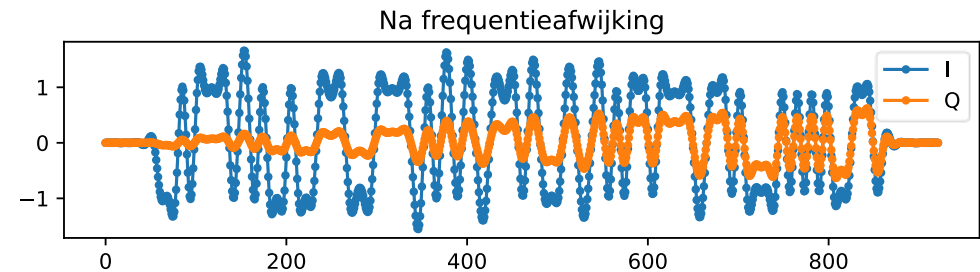
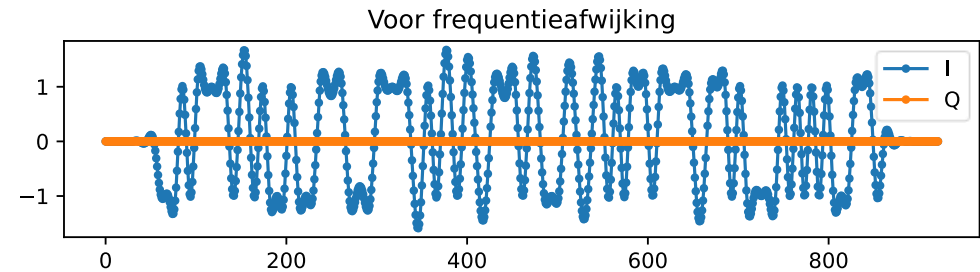
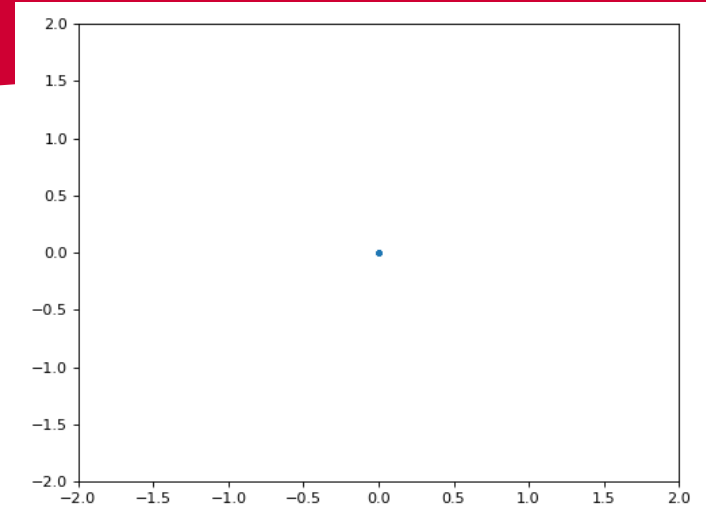
Frequentieafwijking

Met de hand erg lastig om precies te corrigeren

## Gevolg

Draaiing in I/Q – diagram. Waarom?

Fase niet meer duidelijk



# Synchronisatie

Telecommunicatie

1. Frequentie/Fase
2. Symbool
3. Frame

## Phase Locked Loop (PLL)

$$r(t) = \cos(\omega_0 t + \phi(t))$$

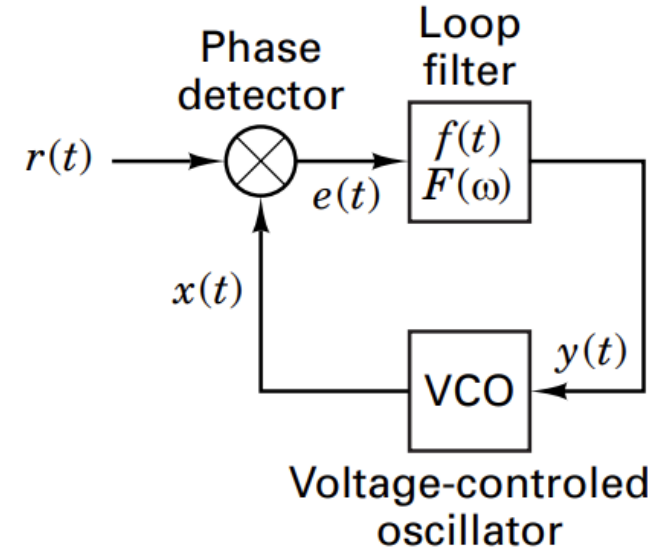
$$x(t) = -2 \sin(\omega_0 t + \hat{\phi}(t))$$

$$e(t) = x(t)r(t)$$

$$= -2 \sin(\omega_0 t + \hat{\phi}(t)) \cos(\omega_0 t + \phi(t))$$

$$= \sin(\phi(t) - \hat{\phi}(t)) + \sin(2\omega_0 t + \hat{\phi}(t) + \phi(t))$$

$$\approx \phi(t) - \hat{\phi}(t)$$



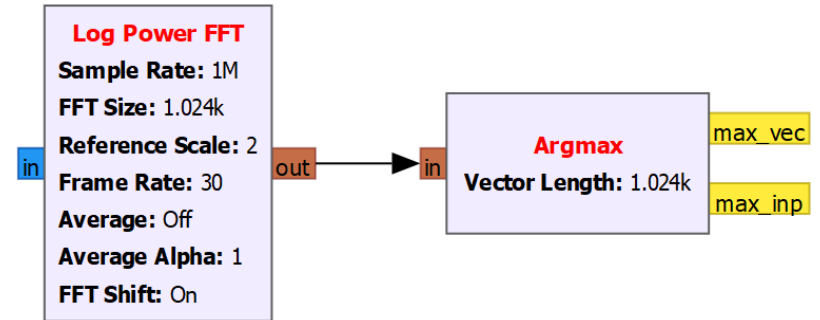
Bernard Sklar, Digital communications

# Grove detectie

In boek: neem macht en bepaal max frequentie  
GNURadio kan met vectoren werken

Vector is een combinatie van bijv. 1024 samples

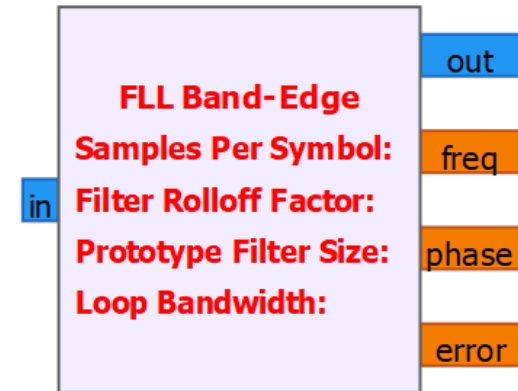
Handig voor een “breedbandige” aanpak



smalbandige oplossing (gebaseerd op PLL):

- Filter Rolloff Factor, gebruikte alpha/beta RRC
- Prototype Filter Size: hoeveel coëfficiënten?
- Loop bandwidth: Bandbreedte regelaar, tussen  $\pm\pi$   
Prima waarde is  $\frac{2\pi}{100} \approx 62.8m$

Uitgang is verschoven versie signaal

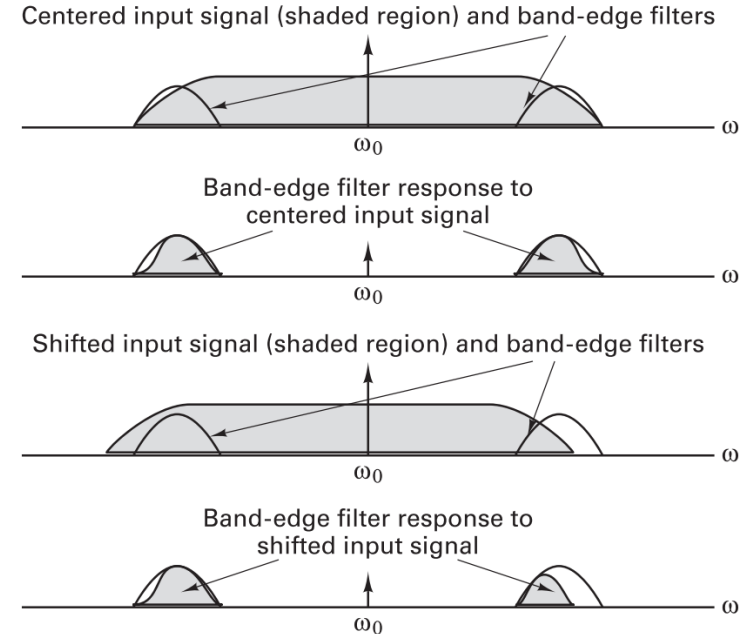


# Band-Edge

Afgeleide van het RRC filter.

Zolang het signaal nog binnen 1 van de bandpass filters zichtbaar is, kan het corrigeren.

Dus voor een datarate van  $1\text{kbps}$  en filterbreedte van  $2\text{kHz}$ , dan mag de “draaggolf” van het ontvangen signaal uiterlijk  $\pm 2\text{kHz}$  afwijken

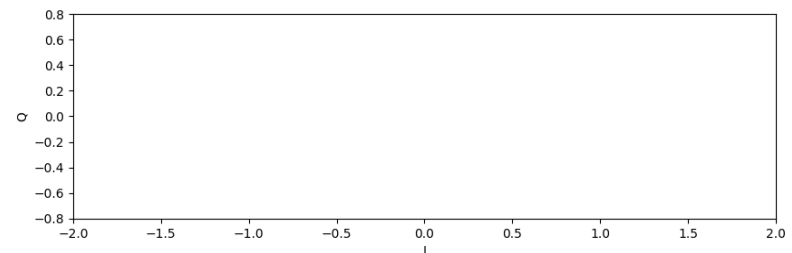
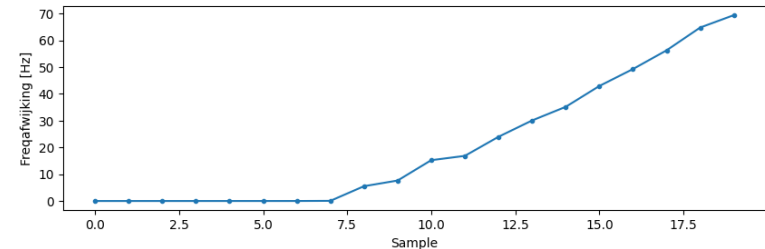


**Figure 10.10** Band edge filter example.  
Bernard Sklar, Digital communications



## Costas-Loop

```
1 fase = 0
2 # Deze volgende twee parameters bepalen of de feedback loop sneller of langzamer reageert (wat de stabiliteit beïnvloed
3 alpha = 0.132
4 beta = 0.00932
5 uit = np.zeros(N, dtype=complex)
6 for i in range(N):
7     uit[i] = samples[i] * np.exp(-1j*fase) # pas de ingang aan met de inverse van de geschatte faseafwijking
8     fout = np.real(uit[i]) * np.imag(uit[i]) # De is de foutvergelijking voor de 2e orde Costas-loop (dus voor BPSK)
9
10 # Update de fase en frequentie
11 freq += (beta * fout)
12 fase += freq + (alpha * fout)
```



# Costas Loop

Alleen geschikt voor 2, 4 of 8-PSK

## Costas loop

**Loop Bandwidth:** Bandbreedte regelaar, goede waarde  $\frac{2\pi}{100}$

**Order:** 2 voor BPSK, 4 voor QPSK of 8 voor 8-PSK

Uitgang is ingang zonder frequentie/fase verschuiving.

